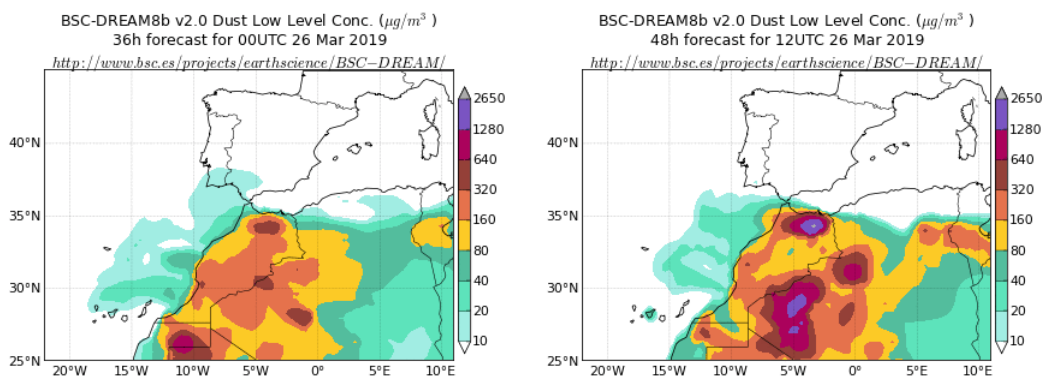


Predicción de intrusión de masas de aire africano sobre España para el día 26 de marzo de 2019

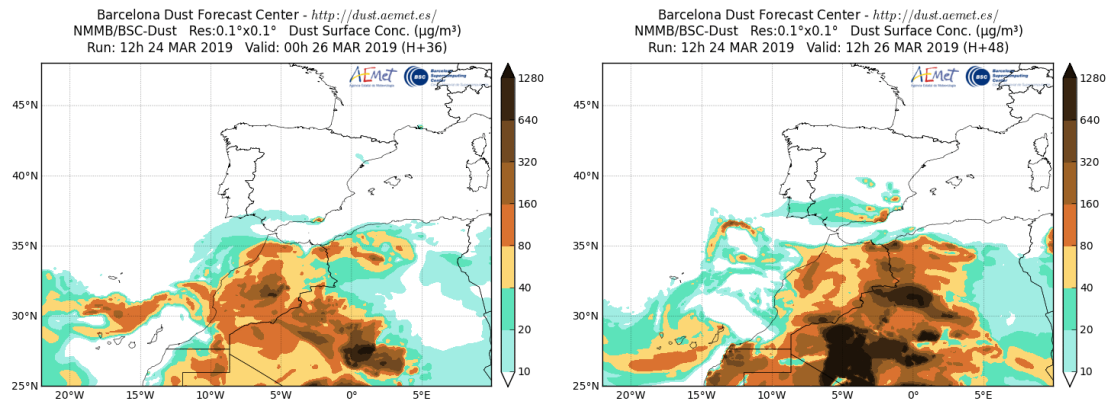
Los modelos consultados prevén la presencia de masas de aire africano sobre las islas Canarias y la Península para el día 26 de marzo. Estiman concentraciones de polvo en superficie en los rangos 10-320 $\mu\text{g}/\text{m}^3$ para el sureste de la Península y 10-80 $\mu\text{g}/\text{m}^3$ para el suroeste y centro peninsular y las islas Canarias. Según el modelo SKIRON también podría producirse depósito seco y húmedo de polvo sobre las islas Canarias y seco sobre el centro y sur de la Península a lo largo del día.

El modelo BSC-DREAM8b v2.0 prevé la presencia de masas de aire africano a nivel de superficie sobre las islas Canarias y la Península para el día 26 de marzo. Estima concentraciones de polvo en los rangos 10-40 $\mu\text{g}/\text{m}^3$ para las islas Canarias y 10-20 $\mu\text{g}/\text{m}^3$ para el suroeste peninsular.



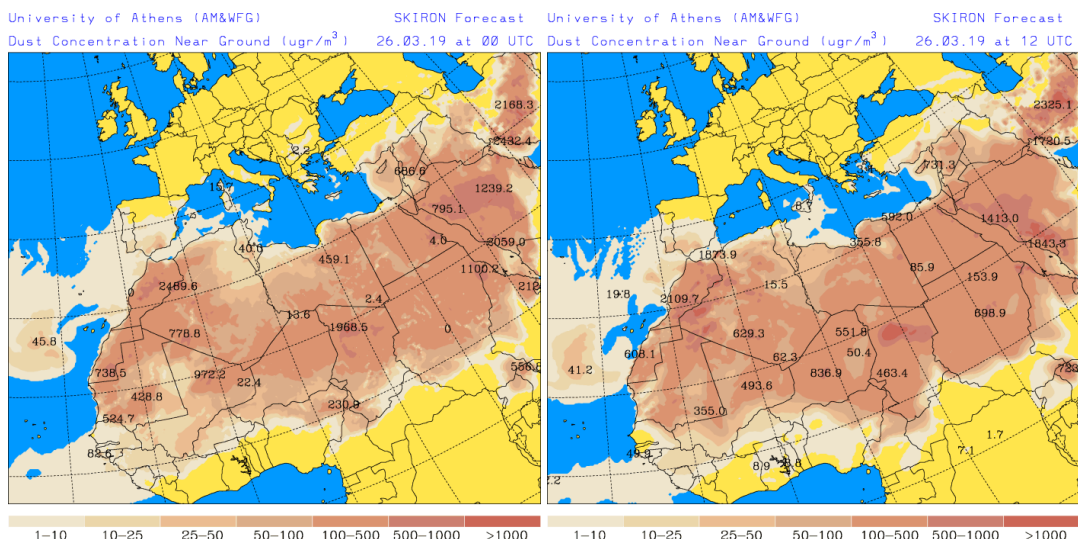
Concentración de polvo ($\mu\text{g}/\text{m}^3$) predicha por el modelo BSC-DREAM8b v2.0 para el día 26 de marzo de 2019 a las 00 UTC (izquierda) y a las 12 UTC (derecha). © Barcelona Supercomputing Center.

El modelo NMMB/BSC-Dust prevé también la presencia de masas de aire africano a nivel de superficie sobre las islas Canarias y la Península para el día 26 de marzo. Estima concentraciones de polvo en los rangos 10-320 $\mu\text{g}/\text{m}^3$ para el sureste de la Península, 10-160 $\mu\text{g}/\text{m}^3$ para las islas Canarias y el este de la Península y 10-80 $\mu\text{g}/\text{m}^3$ para el suroeste y centro peninsular. Las altas concentraciones estimadas para el sureste peninsular podrían estar relacionadas en parte con procesos de resuspensión local.



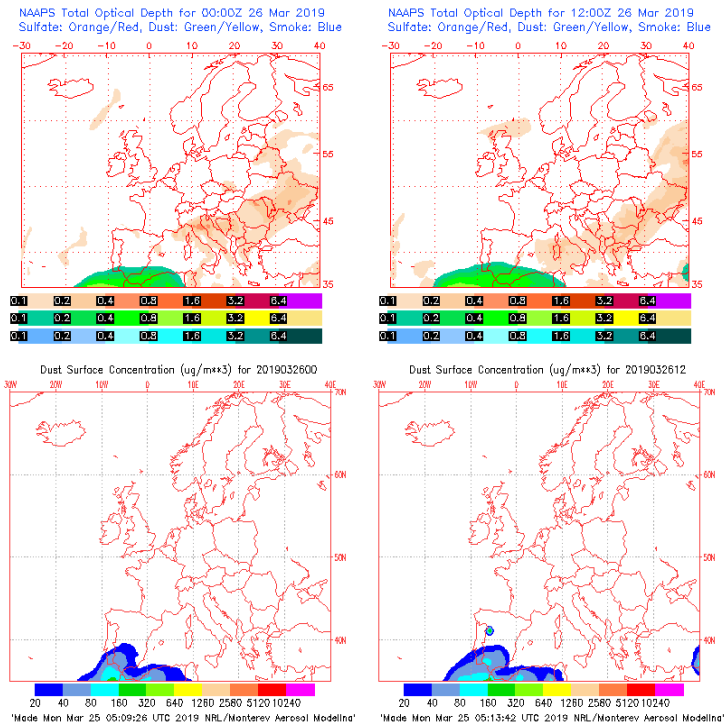
Concentración de polvo ($\mu\text{g}/\text{m}^3$) predicha por el modelo NMMB/BSC-Dust para el día 26 de marzo de 2019 a las 00 UTC (izquierda) y a las 12 UTC (derecha). © Barcelona Dust Forecast Center

El modelo SKIRON prevé también la presencia de masas de aire africano sobre las islas Canarias y la Península para el día 26 de marzo. Estima concentraciones de polvo en superficie en los rangos $1\text{-}500 \mu\text{g}/\text{m}^3$ para el sureste de la Península, $1\text{-}50 \mu\text{g}/\text{m}^3$ para el suroeste y $1\text{-}25 \mu\text{g}/\text{m}^3$ para zonas del centro peninsular, e inferiores a $10 \mu\text{g}/\text{m}^3$ para otras zonas de la Península, las islas Baleares y las islas Canarias.

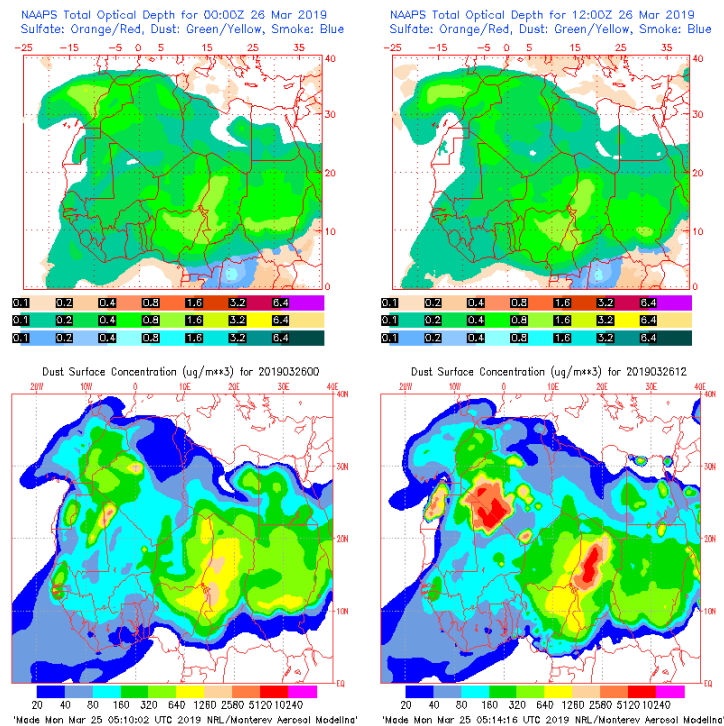


Concentración de polvo ($\mu\text{g}/\text{m}^3$) predicha por el modelo SKIRON para el día 26 de marzo de 2019 a las 00 UTC y a las 12 UTC © Universidad de Atenas.

El modelo NAAPs prevé también la presencia de masas de aire africano en superficie sobre la Península y las islas Canarias para el día 26 de marzo. Estima concentraciones de polvo en superficie en los rangos $20\text{-}160 \mu\text{g}/\text{m}^3$ para el suroeste de la Península, y $20\text{-}80 \mu\text{g}/\text{m}^3$ para el sureste y centro peninsular y las islas Canarias.

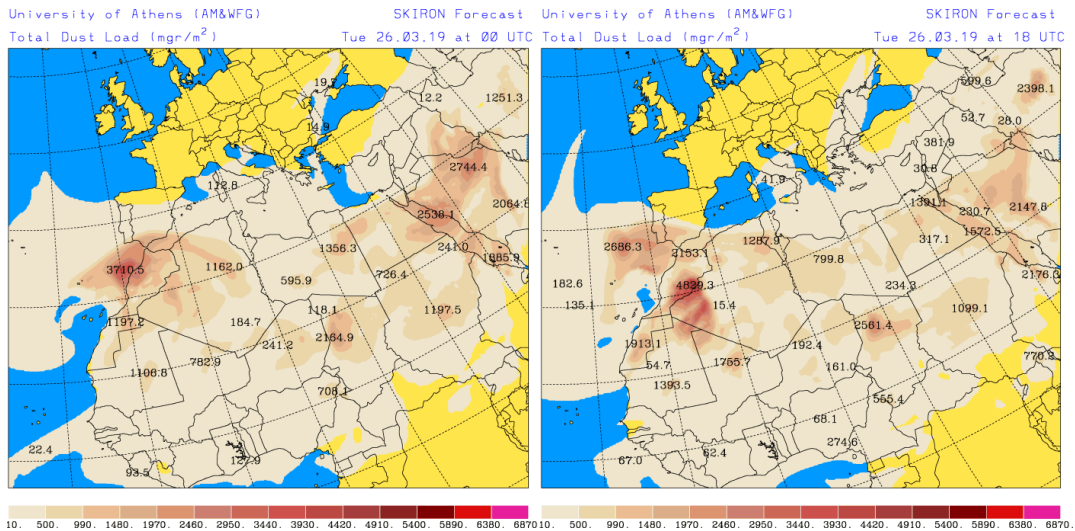


Espesor óptico de aerosoles a 550 nm (arriba) y concentración de polvo a nivel de superficie (abajo) previstos por el modelo NAAPS para el día 26 de marzo de 2019 a las 00 UTC y a las 12 UTC. ©Naval Research Laboratory (NRL), Monterey, CA.

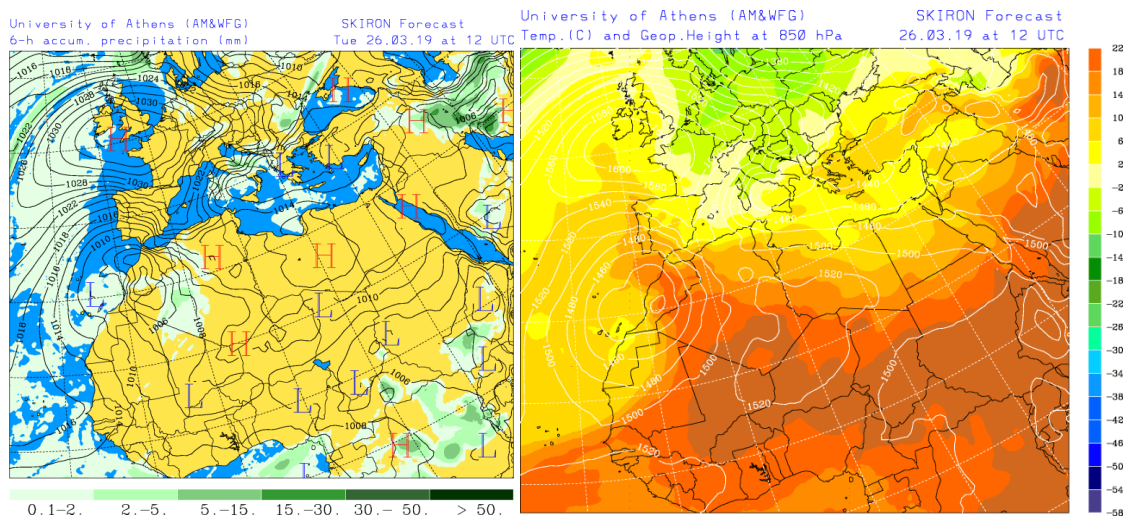


Espesor óptico de aerosoles a 550 nm (arriba) y concentración de polvo a nivel de superficie (abajo) previstos por el modelo NAAPS para el día 26 de marzo de 2019 a las 00 UTC y a las 12 UTC. ©Naval Research Laboratory (NRL), Monterey, CA.

Los mapas de carga total de polvo, así como los de presión a nivel del mar y altura geopotencial a nivel de 850 hPa proporcionados por el modelo SKIRON, muestran transporte de masas de aire africano sobre las islas Canarias y la Península, favorecido por las altas presiones predominantes sobre el norte de África y la borrasca situada sobre Marruecos y las islas Canarias.

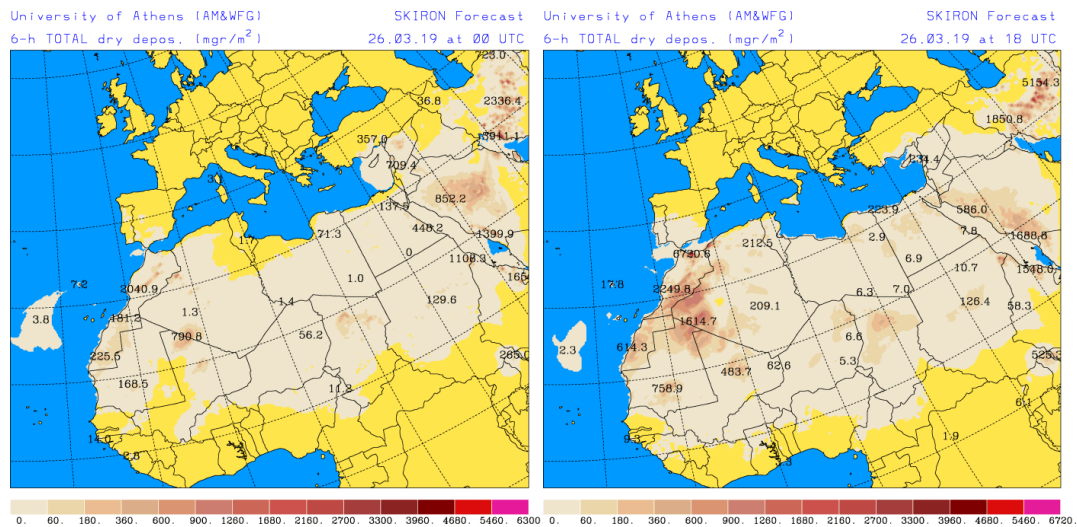


Carga total de polvo (mg/m²) predicha por el modelo SKIRON para el día 26 de marzo de 2019 a las 00 UTC (izquierda) y a las 18 UTC (derecha). © Universidad de Atenas.

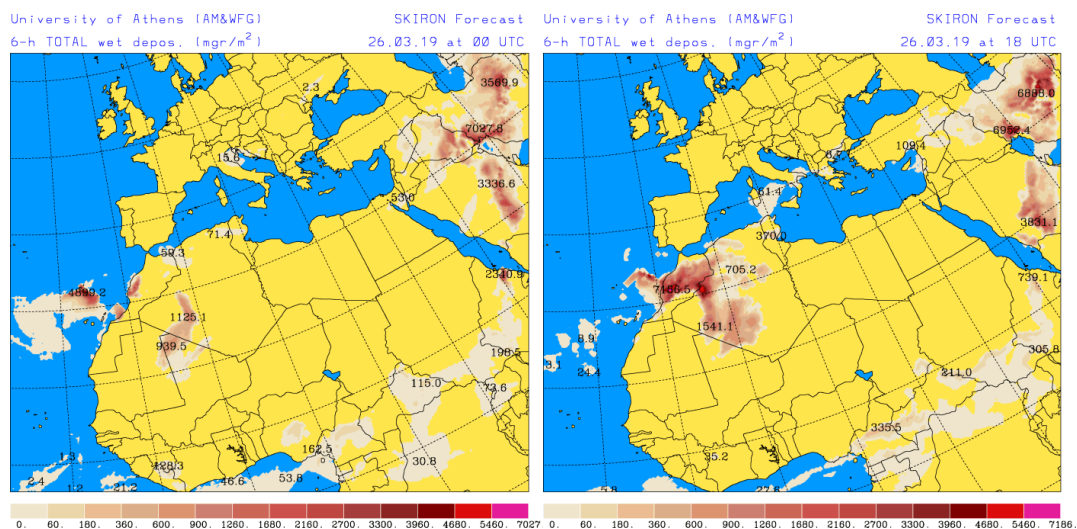


Precipitación acumulada (mm) y presión a nivel del mar (hPa) (izquierda) y campo de temperaturas (°C) y de altura geopotencial a 850 hPa (derecha) previsto por el modelo SKIRON para el día 26 de marzo de 2019 a las 12 UTC. © Universidad de Atenas.

Según el modelo SKIRON también podría producirse depósito seco y húmedo de polvo sobre las islas Canarias y seco sobre el centro y sur de la Península a lo largo del día 26 de marzo.



Depósito seco de polvo (mg/m^2) predicho por el modelo SKIRON para el día 26 de marzo de 2019 a las 00 UTC (izquierda) y a las 18 UTC (derecha). © Universidad de Atenas



Depósito húmedo de polvo (mg/m^2) predicho por el modelo SKIRON para el día 26 de marzo de 2019 a las 00 UTC (izquierda) y a las 18 UTC (derecha). © Universidad de Atenas

Fecha de elaboración de la predicción: 25 de marzo de 2019

Predicción elaborada por Noemí Pérez (IDAEA-CSIC)

Los datos son propiedad de la Dirección General de Calidad y Evaluación Ambiental, del Ministerio para la Transición Ecológica, y han sido obtenidos y se suministran en el marco del “Encargo del Ministerio para la Transición Ecológica a la Agencia Estatal Consejo Superior de Investigaciones Científicas para la detección de episodios naturales de aportes transfronterizos de partículas y otras fuentes de contaminación de material particulado, y de formación de ozono troposférico”.